### 1.1. Tension superficielle

Las tension superficielle désigne :

Une force (F) par unité de longueur du périmètre (l), telle que :  $\gamma = F/I$ 

Elle s'exprime en : N/m ou dyne/cm (1  $dyne = 10^{-5} N$ ).

La quantité extrême d'énergie possible par unité de surface, telle que :  $\gamma = \partial W/\partial A$ 

Elle s'exprime en :  $J/m^2$  ou  $erg/cm^2$  (1  $erg = 10^{-7} J$ ).

### 1.1.1. Tension superficielle et fonctions thermodynamiques

Si le système est en équilibre thermodynamique avec l'extérieur, le travail qui lui est fourni dans une transformation élémentaire est :

 $\partial W_{m\acute{e}canique} = \partial W_P + \partial W_{TS}$ 

∂W<sub>P</sub>: est le travail des forces de pression

 $\partial W_{TS}$ : est le travail des forces de tension superficielle

 $\partial W_{chimique} = \sum \mu_i . dn_i$ 

 $\mu_i$ : est le potentiel chimique du constituent i

n<sub>i</sub>: est le nombre de moles du constituent i

On en déduit l'énergie interne du système qui est ici définie par:

 $dU = \partial Q + \partial W_{m\acute{e}canique+chimique}$  (relation régissant le premier principe de la thermodynamique)

et  $\partial \mathbf{Q} = \mathbf{T.dS}$  (second principe de la thermodynamique)

 $dU = T.dS - P. dV + \gamma. dA + \sum \mu_i . dn_i$ 

$$\left(\frac{\partial U}{\partial A}\right)_{S,V,n} = \gamma$$

$$H = U + P.V$$

$$dH = dU + P.dV + V.dP$$

$$dH = T.dS + \gamma. dA + \sum \mu_i.dn_i + V.dP$$

$$\left(\frac{\partial H}{\partial A}\right)_{S,P,n} = \gamma$$

Equation de Gibbs pour une phase surfacique:

$$G = H - T.S$$

$$dG = dH - T.dS - S.dT$$

$$dG = T.dS + \gamma. dA + \sum \mu_i.dn_i + V.dP - T.dS - S.dT$$

$$dG = \gamma \cdot dA + \sum \mu_i \cdot dn_i + V \cdot dP - S \cdot dT$$

$$\left(\frac{\partial G}{\partial A}\right)_{T,P,n} = \gamma$$

#### 1.1.2. Effet de la température sur la tension superficielle

Eotvos a démontré expérimentalement la relation :

$$\gamma_{\rm T} = \gamma_0 \left(1 - \frac{\rm T}{\rm T_C}\right)$$

Avec:

 $T_c$ : est la température critique ( $\gamma$  (T = Tc) = 0).

 $\gamma_{\rm T}$ : est la tension superficielle à la température T.

 $y_0$ : est la tension superficielle caractéristique du corps.

On notera que la tension superficielle ( $\gamma$ ) **diminue** lorsque la **température augmente** : cela s'explique par le fait que les forces de cohésion intermoléculaires sont réduites par l'agitation thermique.

#### 1.2. Surface courbe

Beaucoup d'interfaces rencontrées sont sous forme de courbes (émulsions, bulles d'air, ...).

### 1.2.1. Équation de Laplace

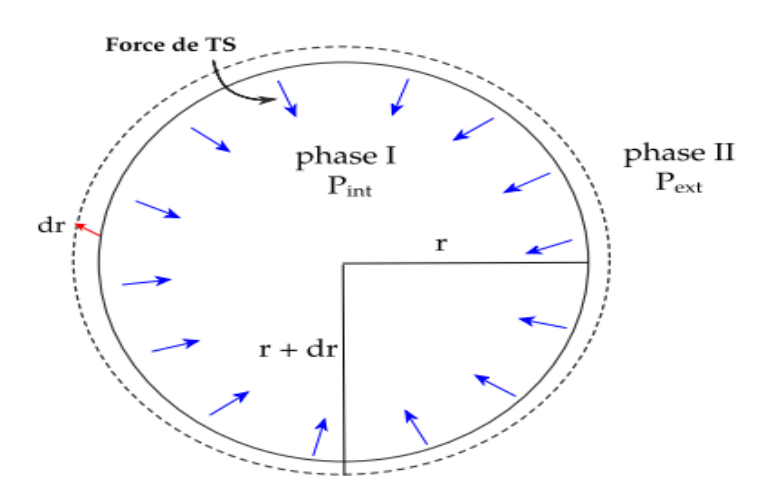


Figure 1 : Surpression de la goutte

Soit une goutte de rayon  $\mathbf{r}$ , Si on augmente le rayon de la goutte de  $\mathbf{r}$  à  $\mathbf{r} + \mathbf{dr}$ , on aura  $\mathbf{dA} = \mathbf{8}$   $\pi$   $\mathbf{r}$   $\mathbf{dr}$ . De la même manière son volume augmentera d'une quantité  $\mathbf{dV} = \mathbf{4} \pi \mathbf{r}^2 \mathbf{dr}$ .

Les forces de tension superficielle, qui sont dirigées vers l'intérieur de la goutte, exercent une compression à l'intérieur de celle-ci. La pression  $\mathbf{p_{int}}$  dans la goutte est donc supérieure à celle du milieu extérieur,  $\mathbf{p_{ext}}$ . Cette compression est d'autant plus grande que les forces superficielles sont grandes, donc que la tension superficielle  $\gamma$  est élevée.

La surface d'une sphère vaut :  $A = 4\pi r^2$ . Son augmentation dA est égale à :  $dA = 8\pi r dr$ Le volume d'une sphère vaut :  $V = 4/3\pi r^3$ . Son augmentation dV est égale à :  $dV = 4\pi r^2 dr$ 

Ainsi, le travail élémentaire total des forces de pression ( $\partial W_P$ ) est donné par :

$$\partial \mathbf{W}_{\mathbf{P}} = \partial \mathbf{W}_{\mathbf{int}} + \partial \mathbf{W}_{\mathbf{ext}}$$

 $\partial W_{int}$ : est le travail des forces de pression interne ( $P_{int}$ )

 $\partial W_{\text{ext}}$ : est le travail des forces de pression externe  $(P_{\text{ext}})$ 

$$\partial \mathbf{W} = -\mathbf{P} \cdot \mathbf{dV} = -\mathbf{P} \cdot 4\pi \mathbf{r}^2 \mathbf{dr}$$

$$\partial W_P = P_{int} \cdot 4\pi r^2 dr - P_{ext} \cdot 4\pi r^2 dr$$

$$\partial \mathbf{W}_{\mathbf{P}} = (\mathbf{p}_{int} - \mathbf{p}_{ext}) 4\pi \mathbf{r}^2 \mathbf{dr}$$

D'un autre côté, nous avons aussi le travail des forces de tension superficielle ( $\partial W_{TS}$ ):

$$\partial \mathbf{W}_{TS} = \mathbf{\gamma} \ \mathbf{d}\mathbf{A}$$

# $\partial W_{TS} = \gamma 8 \pi r dr$

À l'équilibre (existence de la goutte), les deux travaux sont égaux, soit :

$$\partial W_P = \partial W_{TS}$$

$$(\mathbf{p}_{\text{int}} - \mathbf{p}_{\text{ext}}) \, 4\pi \mathbf{r}^2 \mathbf{dr} = \gamma \, 8 \, \pi \, \mathbf{r} \, \mathbf{dr}$$

On retrouve ainsi, l'équation de Laplace

# $P_{int} - P_{ext} = 2 \gamma / r$

Si « r » augmente,  $(P_i - P_e)$  diminue : la pression est plus grande dans une petite bulle que dans une grande.

#### \*Cas d'une bulle de savon :

La bulle de savon est formée d'un film fin de liquide (eau + tensioactif) comportant deux surfaces (interne et externe) supposées de même rayon  $\mathbf{r}$  (donc on applique deux fois l'équation de Laplace):

$$\begin{aligned} \mathbf{P}_{int} - \mathbf{P}_{s} &= 2 \; \gamma / \; \mathbf{r} \\ \mathbf{P}_{s} - \mathbf{P}_{ext} &= 2 \; \gamma / \; \mathbf{r} \\ \Delta \mathbf{P} &= \mathbf{P}_{int} - \mathbf{P}_{ext} = 4 \; \gamma / \; \mathbf{r} \end{aligned}$$

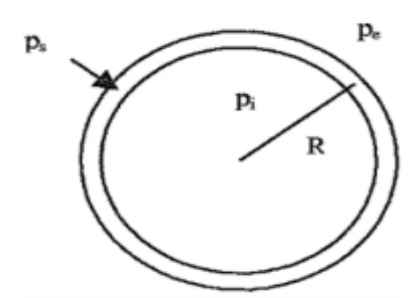


Figure 2 : Bulle de savon

## 1.2.2. Équation de Kelvin :

Un liquide en équilibre avec sa vapeur possède la même température, le même potentiel chimique et la même pression (pression de vapeur saturante, notée  $P_0$ ).

On considère une goutte de liquide, de forme sphérique ayant un rayon r. A température constante, l'équilibre de la goutte avec sa vapeur se traduit par l'égalité des potentiels chimiques des deux phases, soit :

$$\mu_l(P_l, T) = \mu_g(P_g, T)$$
 Eq. (1)

Par définition le potentiel chimique d'une phase i, ayant une quantité de matière  $n_i$ , est donné par :

$$\mu_i = \frac{\partial G_i}{\partial n_i} = \ g_i \qquad \qquad Eq. \ (2)$$

À partir de l'Eq. (1) et tenant compte de la relation :  $\mu = h - T.s$ , on a :

$$d\mu = dh - T.ds - s.dT$$

On a:

$$\mathbf{h} = \mathbf{u} + \mathbf{P.V}$$
 d'où:  $\mathbf{dh} = \mathbf{du} + \mathbf{P.dV} + \mathbf{V.dP}$ 

Et: 
$$\mathbf{du} = \partial \mathbf{q} + \partial \mathbf{w}$$
 d'où:  $\mathbf{du} = \mathbf{T.ds} - \mathbf{P.dV}$ 

Donc : 
$$d\mu = T.ds - P.dV + P.dV + V.dP - T.ds - s.dT$$

$$D'o\dot{u}: d\mu = V.dP - s.dT$$

On obtient:

$$d\mu_l\left(P_l,T\right) = d\mu_g\left(P_g,T\right) \Longleftrightarrow V_l dP_l - s_l dT = V_g dP_g - s_g dT$$

$$T = Cte \longrightarrow dT = 0$$

On aura : 
$$V_l dP_l = V_g dP_g$$
 Eq. (3)

Avec:

 $V_l$ : volume molaire pour la phase liquide.

 $V_{\rm g}$ : volume molaire pour lea phase gazeuse (vapeur).

Or, d'après la loi de Laplace écrite précédemment, il vient :

$$P_1 - P_g = 2 \gamma / r$$
 Eq. (4)

En calculant la différentielle de cette équation par rapport au rayon :

$$dP_1 - dP_g = -2 \gamma / r^2 dr \Rightarrow dP_1 - dP_g = -2 \gamma / r^2 dr$$
 Eq. (5)

D'après l'Eq. (3), 
$$dP_l = \frac{v_{g.dPg}}{v_l}$$
 Eq. (6)

En substituant l'Eq. (6) dans (5) et en considérant  $V_g >>> V_1$  :

$$V_g dP_g = -\frac{2 \gamma V_1 dr}{r^2} \qquad Eq. (7)$$

En assimilant la vapeur à un gaz parfait,  $V_g = \frac{R.T}{P_g}$  et  $V_l = \frac{M}{\rho_l}$  on obtient :

$$\frac{dPg}{P_g} = -\frac{2\,\gamma\,M}{RT\rho_l}\frac{dr}{r^2} \qquad \qquad Eq. \, (8) \label{eq:pg}$$

L'équation de **Kelvin** est obtenue par intégration de cette dernière équation, selon :

$$\label{eq:power_power} \int_{P_0}^{P_g} \frac{\text{d} Pg}{P_g} = -\frac{2\,\gamma\,\text{M}}{RT\rho_l}\,\int_{\infty}^{r} \frac{\text{d} r}{r^2} \qquad \qquad \text{Eq. (9)}$$

$$\ln\left(\frac{P_g}{P_0}\right) = +\frac{2 \gamma M}{RT\rho_1} \cdot \frac{1}{r} = +\frac{\Delta P.M}{RT\rho_1}$$
 Eq. (10)

Avec, M est la masse molaire du liquide et  $\rho_l$  sa masse volumique. R étant la constante des gaz parfaits qui vaut : 8.314 J/K mol.

### 1.3 Méthodes de mesure de la tension superficielle

### 1.3.1 Loi de Jurin : ascension et dépression capillaires

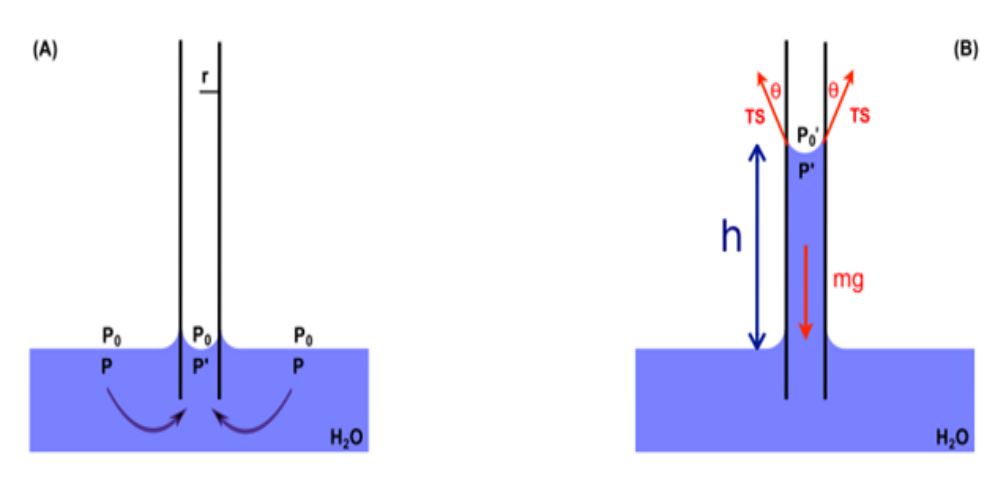


Figure 3: Ascension capillaire

 $\mathbf{F}_{asd}$  ( $\mathbf{F}_{TS}$ ): la force de tension superficielle

 $\mathbf{F}_{des}(\mathbf{P})$ : le poids de pesanteur

La force ascensionnelle est donnée par la relation suivante:

$$\mathbf{F}_{TS} = \gamma . \mathbf{l}$$

Avec  $\mathbf{l} = 2.\pi \mathbf{r}$ : circonférence du tube

La projection de  $\mathbf{F}_{TS}$  sur l'axe de la paroi du tube donne:

 $F_{TS} = \gamma . 2.\pi . r. \cos \theta$ 

La force liée à la pesanteur **P** qui s'exerce sur tout le volume de la colonne du liquide s'exprime par une relation :

## $P = m.g = \rho.V.g = \rho.\pi.r^2.h.g$

À l'équilibre ces deux forces sont égales et de sens contraire de telle sorte que :

 $\mathbf{F}_{TS} = \mathbf{P}$ 

 $\gamma.2.\pi.r.\cos\theta = \rho.\pi.r^2.h.g$   $\longrightarrow h = 2. \gamma.\cos\theta / \rho.r. g$  (Loi de JURIN)

γ: tension superficielle du liquide

ρ : masse volumique du liquide

r : rayon interne du capillaire

h : hauteur de la montée (de la descente) capillarimétrique

g : accélération de la pesanteur

θ: Angle de contact

Si au contraire le liquide ne mouille pas les parois du tube capillaire, c'est-à-dire  $\theta > \pi/2$ , dans ce cas on observera une **dépression capillaire**. La **loi de Jurin** donnera une **hauteur négative**.

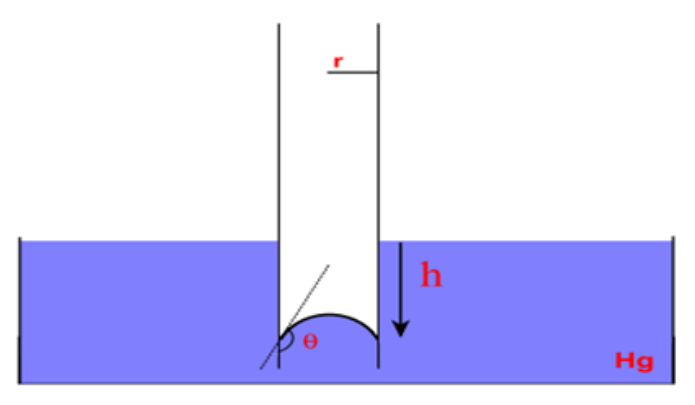


Figure 4 : Dépression capillaire

#### Remarque:

- le liquide mouille parfaitement le solide  $(\theta = 0 \cos \theta = 1)$
- le liquide mouille imparfaitement le solide ( $\theta < 90^{\circ}$ )
- le liquide ne mouille pas le solide  $(\theta > 90^\circ)$

### 1.3.2 Méthode du stalagmomètre

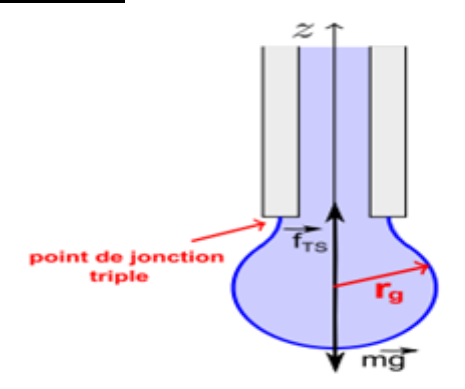


Figure 5: Goutte en équilibre

A l'équilibre on a:

$$\mathbf{m.g} = 2.\pi.\mathbf{r.\gamma}$$

Pour un volume  $V_l$  d'une solution, nous avons :

$$\mathbf{M}_{l} = \mathbf{V}_{l} \cdot \mathbf{\rho}_{l} = \mathbf{N}_{l} \cdot \mathbf{m} \longrightarrow \mathbf{m} = \mathbf{V}_{l} \cdot \mathbf{\rho}_{l} / \mathbf{N}_{l}$$

Avec:

 $M_l$ : est la masse de la solution

 $\rho_l$ : est la masse volumique de la solution

 $N_l$ : est le nombre de gouttes de la solution.

m : est la masse d'une goutte de la solution

On peut alors écrire :

$$2.\,\pi.\,r.\,\gamma_l = \, \frac{v_{l}.\rho_l}{N_l} \,\, g \,\, \rightarrow \,\, V_l = \, \frac{N_l.2.\pi.r.\gamma_l}{g.\rho_l} \,$$

Il en ressort que pour un même tube capillaire, un même volume du liquide et en prenant un liquide de tension superficielle connue, l'eau par exemple ( $\gamma_e = 72.8$  dynes/cm), on peut écrire de façon analogue :

$$V_e = \frac{N_e.2.\pi.r.\gamma_e}{g.\rho_e}$$

Ainsi

$$V_l = V_e \rightarrow \frac{N_l.2.\pi.r.\gamma_l}{g.\rho_l} = \frac{N_e.2.\pi.r.\gamma_e}{g.\rho_e}$$

Il est possible ainsi de remonter à la tension superficielle inconnue  $\gamma_1$ , selon :

$$\gamma_{l} = \frac{\rho_{l}}{\rho_{e}} \frac{N_{e}}{N_{l}} \gamma_{e}$$

Par ailleurs, la goutte pendante se détachera une fois que son poids excède la force capillaire au point de jonction triple : air, liquide et solide. Quand la goutte chute, elle reprend une forme sphérique dont le rayon est donné par la **loi de Tate** :

$$r_g = \left(\frac{3.\gamma.r}{2.\rho_l.g}\right)^{1/3}$$

#### 1.3.3 Méthode de l'arrachement de l'anneau

Le principe de base de cette méthode consiste à mesurer la force d'attraction  $\mathbf{F}$  qui exerce les particules du liquide sur les parois internes et externes d'un anneau, au moment de l'arrachement de la surface.

$$F = 2\pi\gamma(r_{ext} + r_{int})\cos\theta$$

En effet, en utilisant un anneau traité de façon à ce qu'il soit parfaitement mouillé par le

liquide :  $\theta = 0 \Rightarrow \cos \theta = 1$ 

A l'équilibre :  $P = F_{TS}$ 

**P**: le poids de pesanteur

F<sub>TS</sub>: la force de tension superficielle

$$\mathbf{m.g} = 2\pi\gamma(r_{ext} + r_{int})$$

Donc:  $\gamma = m g / 2\pi (r_{ext} + r_{int})$ 

En pratique :  $r_{ext} \approx r_{int} = r$ , donc :

 $\gamma = m.g / 4.\pi.r$ 

Avec:

r : est le rayon de l'anneau

**m** : est la masse du liquide soulevé après l'arrachement de l'anneau.

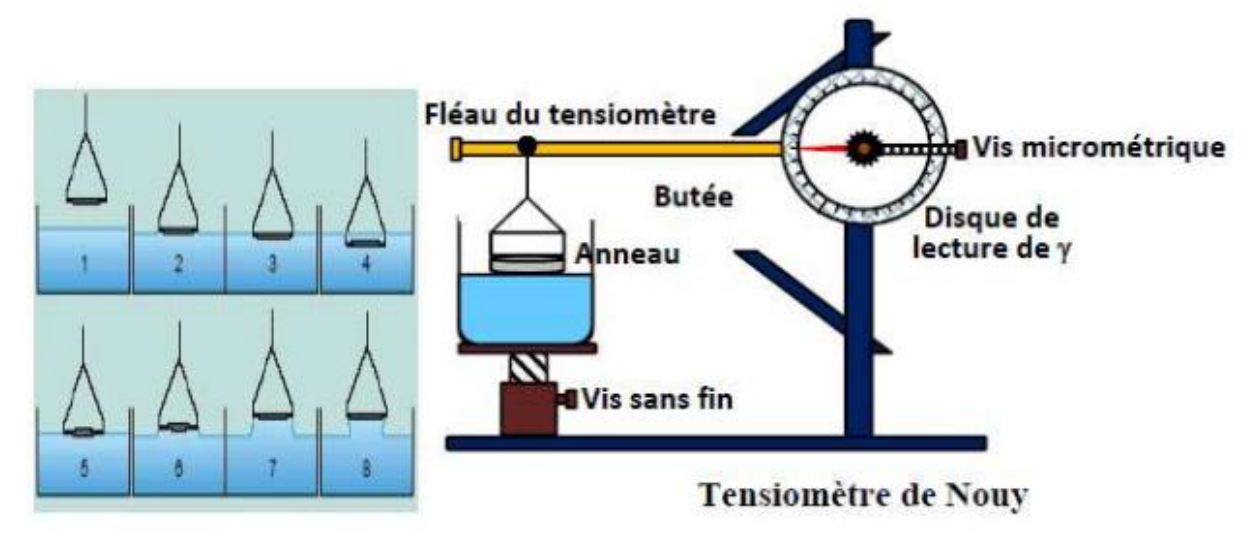


Figure 6 : Arrachement de l'anneau